

УДК 517.9:681.5.013:629.735.45-519 (045)

Савицкая И. В., Бельская А. А., Мазуркевич В. Б.
 Национальный авиационный университет, Киев

ЛИНЕЙНАЯ МАТЕМАТИЧЕСКАЯ МОДЕЛЬ ИЗОЛИРОВАННОГО ПРОДОЛЬНОГО ДВИЖЕНИЯ ПАРЫ ДИСТАНЦИОННО ПИЛОТИРУЕМЫХ ВЕРТОЛЁТОВ ОДНОВИНТОВОЙ СХЕМЫ С МОНОГРУЗОМ

Линейная математическая модель (ММ) получена в результате линеаризации ММ изолированного продольного движения, выделенного при определенных допущениях из модели пространственного движения с учётом влияния моногруза в уравнениях сил. Линейная ММ продольного канала вертолета может быть использована при моделировании собственных движений вертолетов в продольном канале с моногрузом, а также при синтезе систем управления различными режимами работы

Пространственное движение пары вертолётов в кильватерном строю с моногрузом на общей подвеске

Дистанционно управляемый вертолет необходимо рассматривать как наиболее технологически простое и недорогое изделие. В таком случае целесообразно использовать

одновинтовую компоновку с хвостовым рулевым винтом, имеющим электрический привод. Схема сил и моментов, действующих на вертолёты с общей подвеской в кильватерном строю при стабилизации барометрической высоты, представлена на рис. 1.

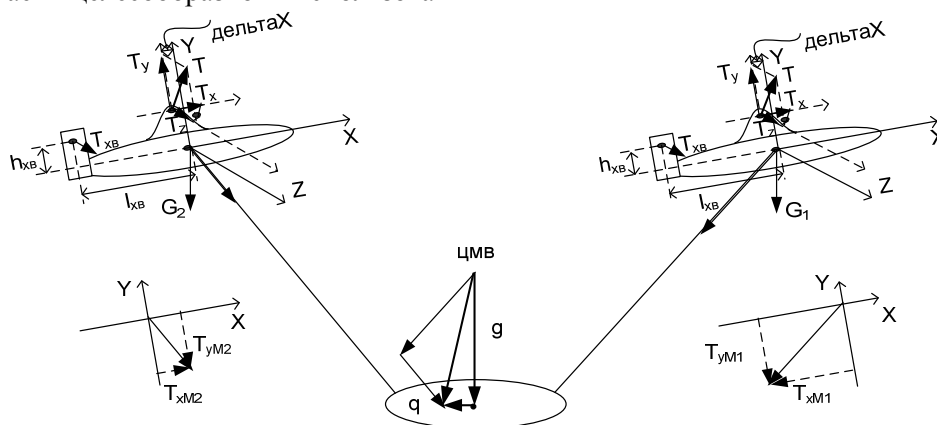


Рис.1. Два вертолета в кильватерном строю с моногрузом

Пренебрегая упругостью конструкции фюзеляжа, полагая, что скорость ветра равна нулю (путевая и воздушная скорости равны), а оси системы координат OXYZ направлены по главным осям инерции вертолёта (все центробежные моменты инерции равны нулю), составим уравнения пространственного движения (три уравнения равновесия сил и три уравнения равновесия моментов) предполагая при этом, что Земля плоская и не вращается:

$$\begin{aligned} m(\dot{V}_x + \omega_y V_z - \omega_z V_y) &= T_x + R_x - mg \sin \vartheta \cos \gamma - T_{xM1}; \\ m(\dot{V}_y + \omega_z V_x - \omega_x V_z) &= T_y + R_y - mg \cos \vartheta \cos \gamma; \\ m(\dot{V}_z + \omega_x V_y - \omega_y V_x) &= T_z + R_z + T_{xb} + mg \cos \vartheta \sin \gamma - T_{yM1}; \\ I_x \dot{\omega}_x + (I_z - I_y) \omega_y \omega_z &= T_z h_{hb} - T_{xb} h_{xb} + M_x^a; \\ I_y \dot{\omega}_y + (I_x - I_z) \omega_x \omega_z &= M_{p_{hb}} - T_{xb} (b_{xb} - \Delta x) - T_z \Delta x + M_y^a; \\ I_z \dot{\omega}_z + (I_y - I_x) \omega_x \omega_y &= M_{p_{xb}} - T_x h_{hb} + T_y \Delta x + M_z^a. \end{aligned} \quad (1)$$

Здесь I_x, I_y, I_z – основные моменты инерции вертолёта; ϑ, γ – углы тангажа и крена фюзеляжа вертолёта; $\omega_x, \omega_y, \omega_z$ – угловые скорости фюзеляжа; T_x, T_y, T_z – составляющие вектора тяги несущего винта; T_{xb} – тяга хвостового винта; $M_{p_{hb}}, M_{p_{xb}}$ – реактивные моменты несущего и хвостового винтов; M_x^a, M_y^a, M_z^a – аэродинамические моменты, воздействующие на фюзеляж; V_x, V_y, V_z – составляющие воздушной скорости вертолёта V ; R_x, R_y, R_z – проекции аэродинамических сил на связанные оси;

T_{xMi}, T_{yMi} – суммарная реакция веса и аэродинамического сопротивления моногруза.

Аэродинамические силы, действующие на фюзеляж, определяются в скоростной системе координат. Их проекции на связанные оси равны:

$$\begin{aligned} R_x &= X_a \cos \beta \cos \alpha - Y_a \sin \alpha - Z_a \sin \beta \cos \alpha; \\ R_y &= -X_a \cos \beta \sin \alpha + Y_a \cos \alpha - Z_a \sin \beta \sin \alpha; \\ R_z &= X_a \sin \beta + Z_a \cos \beta. \end{aligned} \quad (2)$$

Здесь α, β – углы атаки и скольжения вертолёта. Так как интенсивное маневрирование при решении задач мониторинга не предполагается, то разделим пространственное движения вертолёта на два изолированных движения – продольное и боковое. Кроме того, при линеаризации этих уравнений будем считать,

что скорость вращения несущего винта $\Omega_{нв}$ стабилизирована

Линеаризация математической модели продольного движения вертолёта

При отсутствии ветра земная и воздушная скорости равны. Поэтому уравнения продольного движения в связанной системе координат имеют вид:

$$\begin{aligned} m(\dot{V}_x - V_y \omega_z) &= X; \\ m(\dot{V}_y + V_x \omega_z) &= Y; \\ I_z \dot{\omega}_z &= M_z. \end{aligned} \quad (3)$$

В правых частях уравнений (3) обозначены продольные суммарные силы и момент, действующие на вертолёт в соответствии с уравнениями (1) и (2).

Определим линейные приращения этих сил и момента

$$\begin{aligned} \Delta X &= \left(\frac{\partial X}{\partial V_x} \right)_0 \Delta V_x + \left(\frac{\partial X}{\partial V_y} \right)_0 \Delta V_y + \left(\frac{\partial X}{\partial \omega_z} \right)_0 \Delta \omega_z + \left(\frac{\partial X}{\partial \vartheta} \right)_0 \Delta \vartheta + \left(\frac{\partial X}{\partial \chi} \right)_0 \Delta \chi + \left(\frac{\partial X}{\partial \varphi_0} \right)_0 \Delta \varphi_0; \\ \Delta Y &= \left(\frac{\partial Y}{\partial V_x} \right)_0 \Delta V_x + \left(\frac{\partial Y}{\partial V_y} \right)_0 \Delta V_y + \left(\frac{\partial Y}{\partial \omega_z} \right)_0 \Delta \omega_z + \left(\frac{\partial Y}{\partial \vartheta} \right)_0 \Delta \vartheta + \left(\frac{\partial Y}{\partial \chi} \right)_0 \Delta \chi + \left(\frac{\partial Y}{\partial \varphi_0} \right)_0 \Delta \varphi_0; \\ \Delta M_z &= \left(\frac{\partial M_z}{\partial V_x} \right)_0 \Delta V_x + \left(\frac{\partial M_z}{\partial V_y} \right)_0 \Delta V_y + \left(\frac{\partial M_z}{\partial \omega_z} \right)_0 \Delta \omega_z + \left(\frac{\partial M_z}{\partial \vartheta} \right)_0 \Delta \vartheta + \left(\frac{\partial M_z}{\partial \chi} \right)_0 \Delta \chi + \left(\frac{\partial M_z}{\partial \varphi_0} \right)_0 \Delta \varphi_0. \end{aligned} \quad (4)$$

$$\Delta(V_y \omega_z)_0 = V_{y0} \Delta \omega_z + \omega_{z0} \Delta V_y; \quad \Delta(V_x \omega_z)_0 = V_{x0} \Delta \omega_z + \omega_{z0} \Delta V_x; \quad \omega_{z0} = 0, \quad V_{x0} = V, \quad V_{y0} = 0.$$

Здесь χ – угол отклонения автомата перекоса в продольном канале; φ_0 – общий шаг несущего винта, индекс «0» определяет точку линеаризации.

Записываем исходное уравнение в нормальной безразмерной форме. Для этого делим первое и второе уравнение на mV , а третье – на $I_z L/V$. Обозначим $\Delta V_x/V = V_x$, $\Delta V_y/V = V_y$, $\Delta \omega_z L/V = \omega_z$,

$\Delta \chi = \chi$, $\Delta \varphi_0 = \varphi$. Используя эти обозначения, систему линеаризованных уравнений

$$\begin{aligned} a_{11} &= a_x^{V_x} = \frac{1}{m} \left(\frac{\partial X}{\partial V_x} \right)_0, \quad a_{12} = a_x^{V_y} = \frac{1}{m} \left(\frac{\partial X}{\partial V_y} \right)_0, \quad a_{13} = \left(a_x^{\omega_z} + \frac{V_{y0}}{L} \right) = \frac{1}{L} \left(\frac{1}{m} \left(\frac{\partial X}{\partial \omega_z} \right)_0 + V_{y0} \right), \quad a_{14} = a_x^{\vartheta} = \frac{1}{mV} \left(\frac{\partial X}{\partial \vartheta} \right)_0, \\ a_{21} &= a_y^{V_x} = \frac{1}{m} \left(\frac{\partial Y}{\partial V_x} \right)_0, \quad a_{22} = a_y^{V_y} = \frac{1}{m} \left(\frac{\partial Y}{\partial V_y} \right)_0, \quad a_{23} = \left(a_y^{\omega_z} - \frac{V_{x0}}{L} \right) = \frac{1}{L} \left(\frac{1}{m} \left(\frac{\partial Y}{\partial \omega_z} \right)_0 + V_{x0} \right), \quad a_{24} = a_y^{\vartheta} = \frac{1}{mV} \left(\frac{\partial Y}{\partial \vartheta} \right)_0, \\ a_{31} &= a_{m_z}^{V_x} = \frac{L}{I_z} \left(\frac{\partial M_z}{\partial V_x} \right)_0, \quad a_{32} = a_{m_z}^{V_y} = \frac{L}{I_z} \left(\frac{\partial M_z}{\partial V_y} \right)_0, \quad a_{33} = a_{m_z}^{\omega_z} = \frac{1}{I_z} \left(\frac{\partial M_z}{\partial \omega_z} \right)_0, \quad a_{34} = \frac{L}{I_z V} \left(\frac{\partial M_z}{\partial \vartheta} \right)_0, \quad a_{43} = \frac{V}{L}, \\ b_{11} &= a_x^{\chi} = \frac{1}{mV} \left(\frac{\partial X}{\partial \chi} \right)_0, \quad b_{12} = a_x^{\varphi} = \frac{1}{mV} \left(\frac{\partial X}{\partial \varphi} \right)_0, \quad b_{21} = a_y^{\chi} = \frac{1}{mV} \left(\frac{\partial Y}{\partial \chi} \right)_0, \quad b_{22} = a_y^{\varphi} = \frac{1}{mV} \left(\frac{\partial Y}{\partial \varphi} \right)_0, \\ b_{31} &= a_{m_z}^{\chi} = \frac{L}{I_z V} \left(\frac{\partial M_z}{\partial \chi} \right)_0, \quad b_{32} = a_{m_z}^{\varphi} = \frac{L}{I_z V} \left(\frac{\partial M_z}{\partial \varphi} \right)_0. \end{aligned}$$

Систему уравнений продольного движения вертолёта представим в матричной форме

$$\dot{y} = Ay + B\Delta. \quad (6)$$

продольного канала вертолёта в отклонениях запишем виде

$$\begin{aligned} \dot{V}_x &= a_x^{V_x} V_x + a_x^{V_y} V_y + (a_x^{\omega_z} + V_{y0}/L) \omega_z + a_x^{\vartheta} \vartheta + a_x^{\chi} \chi + a_x^{\varphi} \varphi, \\ \dot{V}_y &= a_y^{V_x} V_x + a_y^{V_y} V_y + (a_y^{\omega_z} - V_{x0}/L) \omega_z + a_y^{\vartheta} \vartheta + a_y^{\chi} \chi + a_y^{\varphi} \varphi, \\ \dot{\omega}_z &= a_{m_z}^{V_x} V_x + a_{m_z}^{V_y} V_y + a_{m_z}^{\omega_z} \omega_z + a_{m_z}^{\chi} \chi + a_{m_z}^{\varphi} \varphi, \\ \dot{\vartheta} &= \omega_z. \end{aligned} \quad (5)$$

Коэффициенты системы уравнений (5) обозначим следующим образом:

Здесь $y = (V_x V_y \omega_z \vartheta)^T$ – вектор состояния;

$\Delta = (\chi \varphi)^T$ – вектор управления. Матрицы

A и B :

$$A = \begin{pmatrix} a_{11} & a_{12} & a_{13} & a_{14} \\ a_{21} & a_{22} & a_{23} & a_{24} \\ a_{31} & a_{32} & a_{33} & 0 \\ 0 & 0 & a_{43} & 0 \end{pmatrix}, \quad B = \begin{pmatrix} b_{11} & b_{12} \\ b_{21} & b_{22} \\ b_{31} & b_{32} \\ 0 & 0 \end{pmatrix}. \quad (7)$$

Коэффициенты можно получить в процессе лётных испытаний или продувки модели вертолета в аэродинамической трубе. Можно произвести аналитический расчёт, применив принцип подобия, по известным

$$a_{11} = -1.38, a_{12} = -0.196, a_{13} = -0.2, a_{14} = -0.058, a_{21} = -0.05, a_{22} = -0.9, a_{23} = -0.1, a_{24} = -0.065,$$

$$a_{31} = -0.15, a_{32} = -0.2, a_{33} = -0.8, a_{43} = 60, b_{11} = 1.0, b_{12} = 2, b_{21} = -0.8, b_{22} = 0.3, b_{31} = 0.25, b_{32} = 0.01.$$

Синтез системы управления

Оператор управляет ведущим вертолетом, а ведомый имеет систему стабилизации своего положения относительно ведущего. Ниже будет рассмотрена система управления продольным движением головного вертолётa в режиме маршрутного полёта. Для удобства оператора синтезирована система с автономным управлением автоматом перекоса и общим

$$A = \begin{pmatrix} a_{11} & a_{12} & a_{13} & a_{14} \\ a_{21} & a_{22} & a_{23} & a_{24} \\ a_{31} & a_{32} & a_{33} & 0 \\ 0 & 0 & a_{43} & 0 \end{pmatrix}, \quad A = \begin{pmatrix} -1.38 & -0.196 & -0.2 & 0.058 \\ -0.050 & -0.9 & -0.1 & 0.065 \\ -0.150 & -0.2 & -0.8 & 0 \\ 0 & 0 & 60 & 0 \end{pmatrix}, \quad B = \begin{pmatrix} b_{11} & b_{12} \\ b_{21} & b_{22} \\ b_{31} & b_{32} \\ 0 & 0 \end{pmatrix}, \quad B = \begin{pmatrix} 1.0 & 2. \\ 0.6 & 0.3 \\ 0.25 & 0.01 \\ 0 & 0 \end{pmatrix}$$

2. Характеристическое уравнение получим, приравняв нулю определитель характеристической матрицы:

$$E = \begin{pmatrix} 1 & 0 & 0 & 0 \\ 0 & 1 & 0 & 0 \\ 0 & 0 & 1 & 0 \\ 0 & 0 & 0 & 1 \end{pmatrix}, \quad Q_1 = pE - A, \quad Q_1 = \begin{pmatrix} p+1.38 & .196 & .2 & -.058 \\ .05 & p+.9 & .1 & -.065 \\ .15 & .2 & p+.8 & 0 \\ 0 & 0 & -60 & p \end{pmatrix};$$

$$|Q_1| = p^4 + 3.08p^3 + 3.006p^2 + 2.238p + 1.397 = 0.$$

Корни характеристического уравнения вертолётa равны $(-1.058, -1.927, -.04762 \pm .8252i)$. Вертолёт по продольному каналу находится вблизи колебательной границы устойчивости.

3. Для удобства оператора обеспечим автономное управление с помощью автомата перекоса и общего шага несущего винта

аэродинамическим характеристикам вертолета соответствующей компоновки.

Пусть параметры вертолета равны: $m = 250$ кг, $I_z = 200$ Нс²м, $L = 0.5$ м – расстояние от передней кромки фюзеляжа до центра масс. Скорость полёта $V = 30$ мс⁻¹.

Для дистанционно управляемого вертолета, с компоновкой известной модели МИ-1 в соответствии с принципом подобия были рассчитаны элементы матриц (7). Результаты расчётов:

шагом несущего винта в продольном канале. Синтез производился с использованием программного пакета MathCad.

1. Систему уравнений (6) представим виде

$$\dot{y} = Ay + B\Delta_1 + f_1. \quad (8)$$

Здесь $y = (v_1 v_2 \omega_3 \vartheta)^T$ – вектор состояния,

$\Delta_1 (\chi \varphi_1)$ – вектор управления. Матрицы равны:

Замкнутая система «Вертолет+САУ» описывается матричным уравнением

$$\dot{y} = C_1 y + K_1 U_{13} + f_1. \quad (9)$$

Здесь U_{13} – вектор заданных управлений, C_1 – матрица системы «Вертолет+САУ», K_1 – матрица коэффициентов усиления каналов САУ, T_{11}, T_{12}, T_{13} – постоянные времени автономных каналов,

$$U_{13} = \begin{pmatrix} v_{13} \\ v_{23} \\ \omega_{33} \end{pmatrix}, \quad C_1 = \begin{pmatrix} c_{11} & 0 & 0 & 0 \\ 0 & c_{12} & 0 & 0 \\ 0 & 0 & c_{13} & 0 \\ 0 & 0 & a_{43} & 0 \end{pmatrix}, \quad c_{11} = c_{12} = -2, c_{13} = -1, \quad K_1 = \begin{pmatrix} k_{11} & 0 & 0 & 0 \\ 0 & k_{12} & 0 & 0 \\ 0 & 0 & k_{13} & 0 \\ 0 & 0 & 0 & 0 \end{pmatrix}$$

$k_{11} = k_{12} = 1.5, k_{13} = 2; T_{11} = -1/c_{11} = .5c, T_{12} = -1/c_{12} = .5c, T_{13} = -1/c_{13} = 1c.$

4. Приравняв правые части уравнений (8) и (9), определим вектор управлений $D_1(\chi \varphi_1)$:

$$Ay + BD_1 + f = C_1y + K_1U_3 + f_1. \quad (10)$$

Матрица B прямоугольная, поэтому приближенное решение уравнения (10) ищем через псевдообратную относительно B матрицу

$$M_1 = (B^T B)^{-1} B^T = \begin{pmatrix} -2.286 & 1.868 & 1.235 & 0 \\ .712 & -1.38 & -.958 & 0 \end{pmatrix}.$$

Решением уравнения (10) будет

$$D_1 = (B^T B)^{-1} B^T [(C_1 - A)y + K_1U_3].$$

Законы управления соответствуют строчкам полученного выше решения:

$$\begin{aligned} \chi &= -.4296v_{13} + 2.802v_{23} + 2.469\omega_{33} + .4562v_1 - 1.864v_2 - .1174\omega_3 - .105\vartheta, \\ \varphi_1 &= 1.0686v_{13} - 2.071v_{23} - 1.916\omega_{33} - .6541v_1 + 1.466v_2 + .196\omega_3 + .04879\vartheta. \end{aligned} \quad (11)$$

Законы управления (11) были реализованы в системе Matlab-Simulink, структура модели представлена на рис. 2.

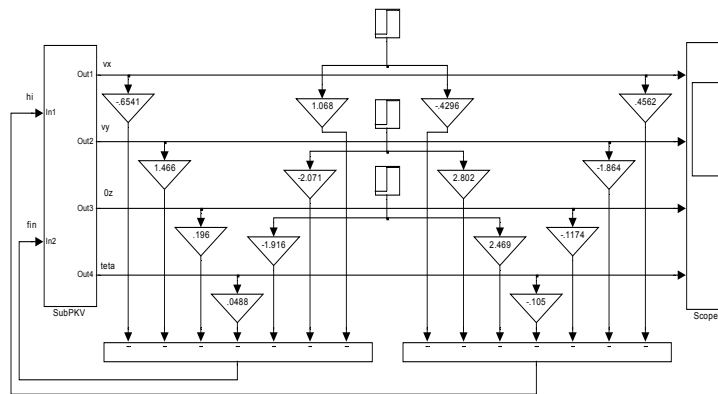


Рис.2. Структурная схема модели продольного канала системы «САУ- пара вертолетов»

В левой стороне рисунка изображен блок «SubPKV», который соответствует продольному

каналу вертолѐта, уравнения (6). Структурная схема модели представлена на рис.3

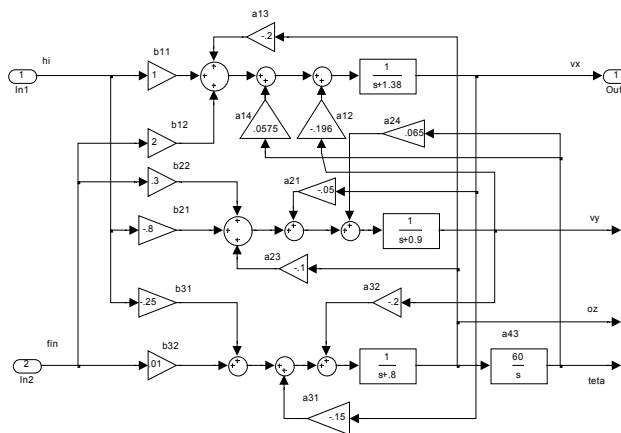


Рис.3. Структурная схема модели продольного канала вертолета